

# СТЕКОЛЬНОЕ ПОВЕДЕНИЕ РЕЛАКСАТОРНОГО СЕГНЕТОЭЛЕКТРИКА $\text{Cd}_2\text{Nb}_2\text{O}_7$ В СЛАБОМ ПОСТОЯННОМ ЭЛЕКТРИЧЕСКОМ ПОЛЕ

*H. H. Колпакова\**

*Физико-технический институт им. А. Ф. Иоффе Российской академии наук  
194021, Санкт-Петербург, Россия*

Поступила в редакцию 10 сентября 2002 г.

На примере релаксаторной системы  $\text{Cd}_2\text{Nb}_2\text{O}_7$  исследовано температурное поведение диэлектрического отклика  $\varepsilon_{his}(T)$  на частоте 1 кГц ( $110 \text{ K} < T < 300 \text{ K}$ ),  $\delta\varepsilon(T) = [\varepsilon_{his}(T) - \varepsilon_{ZFC}(T)]$  и параметра порядка  $q(T)$ , характеризующего  $\varepsilon(T)$  в релаксаторном сегнетоэлектрике, для образцов с разными термическими и электрическими историями в постоянном электрическом поле, значительно меньшем поля насыщения поляризации. В слабом поле ( $E_{dc} = 0.95 \text{ кВ/см}$ ) в области  $T_f = 184 \text{ K}$  поведение  $\delta\varepsilon(T) \propto \chi_{nl}$  изменяется, а при более низких температурах кривые  $\varepsilon_{his}(T)$  монотонно расходятся, что указывает на развитие стекольного состояния в системе. Анализ поведения  $q(T)$  в рамках моделей спиновых и дипольных стекол показал, что в фазе, развивающейся ниже  $T_f$ , при ZFC- и FH/ZFC-режимах доминирующую роль играют случайные взаимодействия полярных микрообластей в присутствии случайных полей. Относительный вклад случайных полей возрастает при FC-режиме в слабом поле и проявляется при ZFH/FC-режиме как ниже, так и выше  $T_f$ .

PACS: 77.22.-d, 61.43.-j, 77.90.+k, 77.84.Dy

## 1. ВВЕДЕНИЕ

Для объяснения необычного диэлектрического поведения релаксаторных сегнетоэлектриков (релаксационная дисперсия  $\varepsilon^*(T)$  в широком диапазоне частот, замедление динамики полярных микрообластей, сопровождающееся замораживанием времен релаксации при  $T \rightarrow T_f^+$ , неэргодичное поведение при низких температурах) в последние десятилетия были предложены разные модели: система реориентируемых полярных кластеров [1, 2], суперпараэлектрик [3, 4], фрустрированный (неоднородный) сегнетоэлектрик, разбитый на нанодомены под действием случайных полей [5, 6], дипольное стекло со случайно взаимодействующими полярными микрообластями в присутствии случайных полей [7–10]. Несмотря на интенсивные исследования, остаются открытыми следующие вопросы: 1) является ли релаксаторная система в нулевом внешнем электрическом поле дипольным стеклом или фрустрированным сегнетоэлектриком; 2) какое состояние разви-

вается в системе ниже  $T_f$  (стекольное или сегнетоэлектрическое); 3) какую роль играет при этом постоянное электрическое поле  $E_{dc}$ . Для прояснения ситуации в PMN ( $\text{PbMg}_{1/3}\text{Nb}_{2/3}\text{O}_3$ ) и PLZT ( $\text{Pb}_{1-x}\text{La}_x(\text{Zr}_y\text{Ti}_{1-y})\text{O}_3$ ) была исследована температурная зависимость а) статической диэлектрической нелинейности  $\alpha_3 = \varepsilon_3/\varepsilon_1^4$  в поле  $E_{dc}$  и без поля ( $\varepsilon_1$  и  $\varepsilon_3$  — первая и третья гармоники диэлектрического отклика) [9, 10] и б) квазистатической нелинейной восприимчивости  $\chi_{nl} = [\varepsilon(E_{dc}) - \varepsilon(0)]/3E_{dc}^2\varepsilon_s^4$  в диапазоне частот от 100 Гц до 1 МГц, определяемой из диэлектрического отклика системы как функции поля при фиксированных значениях температуры ( $\varepsilon$  — диэлектрическая проницаемость в поле  $E_{dc}$  и без поля,  $\varepsilon_s$  — статическая проницаемость) [6, 11]. Измерения показали, что в области  $T_f$  в нулевом и слабом полях  $E_{dc}$  происходит переход из эргодичного в неэргодичное (стекольное) релаксаторное состояние, а в достаточно сильном поле формируется сегнетоэлектрическая фаза. Однако в диапазоне частот релаксационной дисперсии (1 Гц–1 МГц), наиболее интересном для понимания

---

\*E-mail: kolpakova@mail.ioffe.ru

природы релаксаторного состояния, развивающегося ниже  $T_f$ , диэлектрическая нелинейность системы быстро уменьшается [10]. Нелинейная восприимчивость  $\chi_{nl}(T)$ , определяемая при сканировании поля, имеет аномалию не при  $T_f$ , как предсказывает теория фазовых переходов в стекольное состояние [12], а при  $T > T_f$  [6, 11]. В случае, когда  $\chi_{nl}(T) \propto [\varepsilon(E_{dc}, T) - \varepsilon(0, T)]$  определялась из измерений диэлектрического отклика как функции температуры при фиксированных значениях поля, аномалия наблюдалась при  $T_f$ , но эти измерения были выполнены только в сильном поле, индуцирующем сегнетоэлектрическое состояние [13]. Подобно многим стекольным системам [14], в PMN и PLZT в фазе, развивающейся ниже  $T_f$ , диэлектрическая проницаемость при охлаждении в поле [ $\varepsilon_{FC}(T) \equiv \varepsilon(E_{dc}, T)$ ] не совпадает с проницаемостью при охлаждении без поля [ $\varepsilon_{ZFC}(T) \equiv \varepsilon(0, T)$ ], что связано с нарушением эргодичности системы [4, 8, 13, 15–17]. Но сами по себе такие измерения не дают ответа на вопрос, что происходит с релаксаторным сегнетоэлектриком в нулевом поле, а также в слабом и достаточно сильном полях  $E_{dc}$ .

Для того чтобы выяснить природу релаксаторного состояния, развивающегося ниже  $T_f$ , и влияние на релаксаторное поведение системы при низких температурах слабого постоянного электрического поля, в данной работе на примере релаксаторного сегнетоэлектрика  $Cd_2Nb_2O_7$  исследовано поведение 1) диэлектрической проницаемости  $\varepsilon_{his}(T)$  на частоте 1 кГц в слабом поле  $E_{dc}$  для образцов с разными термическими и электрическими историями (как в традиционных режимах ZFC, FC, так и в режимах FH/ZFC — нагревание в поле после охлаждения без поля и ZFH/FC — нагревание без поля после охлаждения в поле), а также 2) разности  $\delta\varepsilon(T) = [\varepsilon_{his}(T) - \varepsilon_{ZFC}(T)]$  и параметра порядка  $q(T)$ , характеризующего отклонение температурной зависимости  $\varepsilon(T)$  в релаксаторных сегнетоэлектриках от закона Кюри–Вейсса [7, 18]. В предыдущих работах поведение  $q(T)$  для образцов с разными термическими и электрическими историями в релаксаторных сегнетоэлектриках вообще не изучалось. Поскольку в общем случае в стекольных системах  $q(T)$  зависит как от случайных взаимодействий, так и от случайных локальных электрических полей и внешнего поля  $E_{dc}$  [4, 9, 14, 18], такие исследования представляют непосредственный интерес для понимания природы процесса замораживания эргодичного релаксаторного состояния ниже  $T_f$ .

Выбор для исследований релаксаторного сегнетоэлектрика  $Cd_2Nb_2O_7$  со структурой пирохлора свя-

зан с 1) малой изученностью релаксаторного состояния, развивающегося в нем ниже  $T_f \approx 184$  К [19–21], по сравнению с перовскитами PMN и PLZT, 2) высокой симметрией параполарной фазы ( $Fd3m - O_h^7$ ), подобно перовскитам ( $Pm3m - O_h^1$ ), и 3) новым типом структурной неупорядоченности в релаксаторных системах (ориентационная неупорядоченность диполей [22] в отличие от композиционной неупорядоченности в перовскитах [1, 3]). Поскольку пирохлоры, как и перовскиты, относятся к центросимметричной кубической системе, для анализа их необычного диэлектрического поведения могут применяться известные модели спиновых и дипольных стекол [9–11, 14, 18]. В отличие от перовскитов, в  $Cd_2Nb_2O_7$  релаксаторное состояние развивается одновременно с сегнетоэластическим (ниже  $T_s = 205$  К) и сегнетоэлектрическим (ниже  $T_C = 196$  К) состояниями, причем  $\varepsilon_{max}(T)$  на частотах ниже 13 МГц наблюдается при  $T_{max} < T_C$  [19–22].

## 2. МЕТОДИКА ЭКСПЕРИМЕНТА

Исследования проводились на керамических образцах высокой плотности (94–96 % теоретической величины), приготовленных по стандартной методике [20]. Анализ образцов методом рентгеновской порошковой дифрактометрии при комнатной температуре подтвердил структуру пирохлора, присутствие других фаз в них не обнаружено.

Измерения проводились на образцах, имеющих форму пластин диаметром 10 мм и толщиной около 2 мм; на их параллельные поверхности наносились электроды из серебряной пасты. Диэлектрическая проницаемость образцов  $\varepsilon_{his}(T)$  на частоте 1 кГц (в диапазоне релаксационной дисперсии) измерялась с помощью емкостного моста Р5079 в слабом переменном электрическом поле  $E_{ac} \approx 12$  В/см и постоянном поле  $E_{dc} \approx 0.95$  кВ/см. В  $Cd_2Nb_2O_7$ , как и в других релаксаторных сегнетоэлектриках, петли диэлектрического гистерезиса вытянуты, в результате чего разница между коэрцитивным полем и полем насыщения поляризации оказывается значительной (для данного образца при 120 К имеем соответственно  $E_{coer} \sim 1$  кВ/см и  $E_{crys} \sim 2.5$  кВ/см). Поэтому поле  $E_{dc} \approx 0.95$  кВ/см не может изменить размер доменов фрустрированного сегнетоэлектрика и диэлектрическую проницаемость в области  $T_C$  [21, 23–25] и не может индуцировать состояние фрустрированного сегнетоэлектрика в области  $T_f$  [10, 13], но способно влиять на взаимодействие между полярными микрообластями [11, 15]. Измерения проводились

при медленном охлаждении и нагревании образца со скоростью 1 К/мин, при этом температура стабилизировалась с точностью  $\pm 0.1$  К. Охлаждение образца (ZFC и FC) всегда начиналось от 300 К (т. е. при температуре, где нет дисперсии  $\varepsilon(T)$ ) [19, 20], и достаточно высокой, чтобы «стереть» все эффекты предыдущих измерений). При 110 К (т. е. вдали от  $T_f$ ) поле  $E_{dc}$  прикладывалось либо снималось, и после выдержки при этой температуре в течение примерно 5 мин образец нагревался (FH/ZFC и ZFH/FC). В  $\text{Cd}_2\text{Nb}_2\text{O}_7$  подобные фундаментальные измерения для тестирования стекольной природы фазы при температуре ниже  $T_f$  [14] ранее не проводились, несмотря на большое число исследований  $\varepsilon(T)$  в постоянном электрическом поле [21, 23–25].

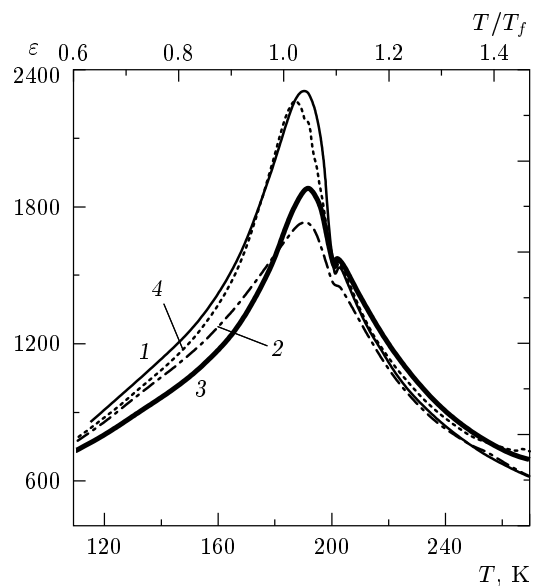
### 3. РЕЗУЛЬТАТЫ И ИХ ОБСУЖДЕНИЕ

В интервале  $110 \text{ K} < T < T_f$  монотонно расходящиеся кривые  $\varepsilon_{his}(T)$  и расщепление между  $\varepsilon_{ZFC}(T)$  и  $\varepsilon_{FC}(T)$ , а также между  $\varepsilon_{ZFC}(T)$  и  $\varepsilon_{FH/ZFC}(T)$ ,  $\varepsilon_{ZFH/FC}(T)$  в слабом поле (рис. 1) наглядно показывают, что природа состояния в этом соединении аналогична спиновым и дипольным стеклам [14]. При  $T \rightarrow T_{max}^-$  (где  $T_{max}^- \approx 191$  К) расщепление между кривыми  $\varepsilon_{his}(T)$  остается значительным и зависит от термической и электрической истории образцов. В области  $T > T_{max}^-$  расщепление постепенно уменьшается и около 270 К исчезает.

Записывая связь между полем  $E$  и индуцируемой им поляризацией  $P(E, T)$  в виде степенного ряда выражается формулой  $P = \varepsilon_0[\varepsilon(0, T)E - \chi_{nl}(T)E^3 + \chi_4(T)E^5 + \dots]$  (для кубической структуры с центром симметрии). Учитывая, что  $\varepsilon(0, T) \approx \varepsilon_s$  измеряется в слабом переменном поле  $E_{ac}$ , а нелинейные эффекты в области  $T_f$  относительно малы по сравнению с  $\varepsilon(0, T)$  (так, при  $T_f$  величина  $\varepsilon(0, T) \sim 2200$  (рис. 1)), вызванное полем  $E_{dc}$  изменение диэлектрического отклика ( $\varepsilon = 1 + \partial P/\partial E$ ) можно представить как функцию нелинейной восприимчивости:

$$\delta\varepsilon(T) = \varepsilon_{FC}(E_{dc}, T) - \varepsilon_{ZFC}(0, T) = -3\chi_{nl}(T)E_{dc}^2, \quad (1)$$

где  $\varepsilon_0$  — проницаемость вакуума,  $\chi_{nl}(T)$  и  $\chi_4(T)$  — нелинейности соответственно второго и четвертого порядка. Известно, что при переходе системы в состояние дипольного стекла нелинейная восприимчивость  $\chi_{nl}(T)$  в области  $T_f$  имеет аномалию [8, 11], а нормированная нелинейная восприимчивость  $\chi_{nl}(T)\varepsilon_s^{-4} \rightarrow \infty$  [6, 12, 26]. Для сравнения на рис. 2 приведены экспериментальные кривые



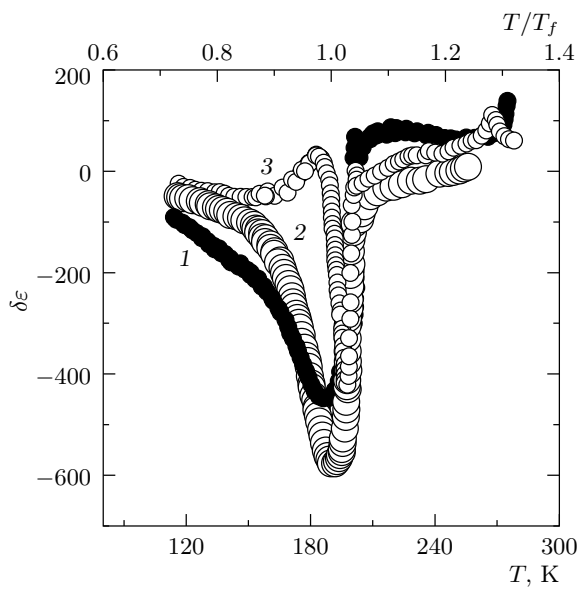
**Рис. 1.** Температурные зависимости действительной части диэлектрической проницаемости  $\varepsilon_{his}(T)$  керамики  $\text{Cd}_2\text{Nb}_2\text{O}_7$  на частоте 1 кГц в слабом электрическом поле  $E_{dc} = 0.95$  кВ/см для образцов с разными термическими и электрическими историями: 1 — ZFC, 2 — FH/ZFC, 3 — FC, 4 — ZFH/FC

$\delta\varepsilon(T) = [\varepsilon_{his}(T) - \varepsilon_{ZFC}(T)]$  для случая  $\varepsilon_{his} \equiv \varepsilon_{FC}$ , описываемого феноменологическим соотношением (1), а также для  $\varepsilon_{ZFH/FC}$  и  $\varepsilon_{FH/ZFC}$ . В интервале  $110 \text{ K} < T < 205 \text{ K}$  при FC- и FH/ZFC-режимах величина  $\delta\varepsilon(T)$  отрицательна и проходит через минимум, положение которого совпадает с  $T_f$  (кривые 1 и 2). При ZFH/FC-режиме вид аномалии резко отличается:  $\delta\varepsilon(T)$  проходит через минимум при температуре  $195.8 \text{ K} = (T_f + 11.8 \text{ K})$ , изменяет знак при  $T_f$  и проходит через максимум при температуре  $181.4 \text{ K} = (T_f - 2.6 \text{ K})$  (кривая 3).

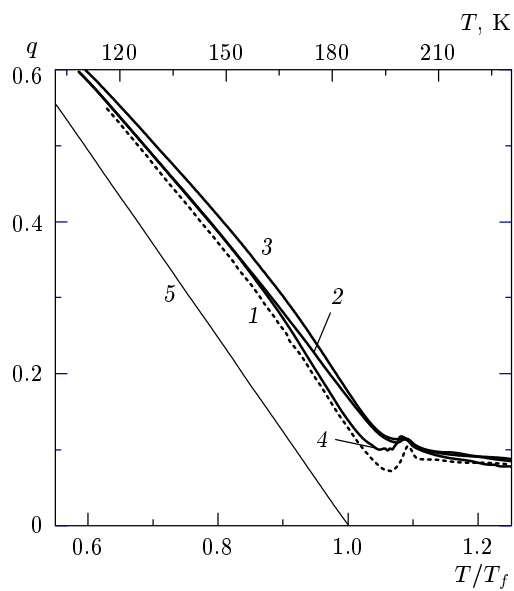
Из формулы

$$\varepsilon(T) = C [1 - q(T)] / [T - \Theta(1 - q(T))],$$

описывающей диэлектрический отклик релаксаторных сегнетоэлектриков со стекольным поведением [7, 18], были рассчитаны  $q(T)$  для  $\varepsilon_{his}(T)$ , наблюдавшихся при варьировании условий эксперимента (рис. 3). В отличие от магнитных спиновых стекол, в  $\text{Cd}_2\text{Nb}_2\text{O}_7$  во всех случаях параметр порядка  $q(T)$  не обращается в нуль выше  $T_f$ . В то же время, в отличие от традиционных дипольных стекол, зависимость  $q(T)$  в области  $T_f$  изменяется не монотонно, а имеет излом. Ниже 160 К параметр  $q(T) \propto T^{-1}$ , выше температуры 190 К он относительно мал и слабо зависит от температуры, в области перехода



**Рис. 2.** Температурные зависимости разности  $\delta\epsilon(T)$  между  $\epsilon_{his}(T)$  и  $\epsilon_{ZFC}(T)$ , приведенными на рис. 1: 1 — FC, 2 — FH/ZFC, 3 — ZFH/FC



**Рис. 3.** Температурные зависимости параметра порядка  $q(T)$ , рассчитанные из формулы  $\epsilon(T) = C[1-q(T)]/[T-\Theta(1-q(T))]$  [18] для  $\epsilon_{his}(T)$ , приведенных на рис. 1. Значения эффективных параметров для исследуемого образца: константа Кюри  $C = 0.67 \cdot 10^5$  К, температура Кюри–Вейсса  $\Theta = 181$  К; 1 — ZFC, 2 — FH/ZFC, 3 — FC, 4 — ZFH/FC, 5 — решение системы уравнений (2) для случая  $\Delta = 0$ ,  $P = 0$ ,  $E_{dc} = 0$  (спиновые стекла)

в стекольное состояние аномалия отсутствует (аномалии в области  $T_s$  и  $T_C$  связаны с фазовым переходом [22]). Такое поведение  $q(T)$  свойственно дипольным стеклам и релаксаторным сегнетоэлектрикам при наличии одновременно случайных взаимодействий и случайных полей [9, 14]. Подобно  $\epsilon_{his}(T)$ , между  $q_{ZFC}$  и  $q_{FC}$ ,  $q_{FH/ZFC}$ ,  $q_{ZFH/FC}$  наблюдается расщепление в интервале температур от 110 до 270 К. Ниже температуры около 160 К кривые  $q_{FH/ZFC}$  и  $q_{ZFH/FC}$  практически совпадают, выше температуры 160 К они монотонно расходятся, в области  $T_f$  имеем  $q_{ZFH/FC} \approx q_{ZFC}$ , а  $q_{FH/ZFC} \approx q_{FC}$ . Эти особенности в поведении  $q_{his}(T)$  показывают, что динамика стекольного состояния в слабом постоянном электрическом поле зависит от термической и электрической истории образцов.

С учетом стекольного поведения свободная энергия релаксаторных сегнетоэлектриков определяется двумя параметрами порядка

$$P(T) \equiv \langle\langle P_i \rangle\rangle_J, \quad q(T) \equiv \langle\langle P_i P_j \rangle\rangle_J,$$

где  $P_i$ ,  $P_j$  — локальные поляризации кластеров, причем  $P$  и  $q$  для изотропной релаксаторной системы удовлетворяют системе двух уравнений [9, 18]

$$q = \beta^2 J^2 (q + \Delta/J^2) (1 - q)^2 + P^2, \quad (2a)$$

$$P = \beta (1 - q) (J_0 P + E_{dc}), \quad (2b)$$

где  $J^2$  и  $\Delta$  — дисперсии соответственно случайных взаимодействий между полярными микрообластями и случайных полей,  $\beta = 1/kT$ ,  $k$  — постоянная Больцмана,  $kT_f = (J^2 + \Delta)^{1/2}$ . Решения уравнений (2) для  $q(T)$  в случае формирования стекольной фазы ( $J_0 \ll (J^2 + \Delta)^{1/2}$ , т. е.  $J_0 = 0$ ,  $\Delta \neq 0$ , но  $\Delta/J^2 \ll 1$ ,  $P = 0$ ,  $E_{dc} = 0$ ) показывают, что увеличение параметра  $\Delta/J^2$  вызывает увеличение  $q(T)$  [9, 14, 18]. Экспериментально обнаружено, что  $E_{dc} \neq 0$  тоже приводит к увеличению  $q(T)$  [7]. Учитывая эти данные, а также тот факт, что в релаксационных сегнетоэлектриках при приложении слабого поля в стекольной фазе  $q_{FH/ZFC}$  увеличивается, но остается меньше  $q_{FC}$  вплоть до  $T_f$ , а при снятии поля  $q_{ZFH/FC}$  уменьшается, но остается больше  $q_{ZFC}$  (рис. 3), можно предположить, что приложение/снятие поля  $E_{dc}$  при низкой температуре вызывает изменение не только величины параметра  $\Delta/J^2$ , но и относительного вклада случайных взаимодействий  $J^2$  и случайных полей  $\Delta$ . В результате при ZFC- и FH/ZFC-режимах в поведении  $q(T)$  доминирующую роль играют случайные взаимодействия между полярными микрообластями, ограничивая увеличение  $q(T)$  в присут-

ствии случайных полей  $\Delta$  и внешнего слабого постоянного поля  $E_{dc}$ . При FC-режиме относительный вклад случайных полей возрастает, повышая  $q(T)$  при ZFH/FC-режиме по сравнению с ZFC-режимом как выше, так и ниже  $T_f$ .

#### 4. ЗАКЛЮЧЕНИЕ

С целью выяснения природы и эволюции релаксаторного состояния при переходе в фазу, развивающуюся ниже  $T_f$ , на примере релаксаторного сегнетоэлектрика  $Cd_2Nb_2O_7$  впервые проведены исследования температурного поведения диэлектрического отклика системы на частоте 1 кГц (диапазон частот релаксационной дисперсии) в слабом постоянном электрическом поле для образцов с разными термическими и электрическими историями. Проведен детальный анализ температурных зависимостей  $\varepsilon(E)$ ,  $\delta\varepsilon(T) = [\varepsilon_{his}(T) - \varepsilon_{ZFC}(T)]$  и  $q(T)$  с учетом современных представлений об особенностях спиновых и дипольных стекол и релаксаторных сегнетоэлектриков со стекольным поведением. Показано, что поведение релаксаторного сегнетоэлектрика в фазе, развивающейся ниже  $T_f$ , определяется как случайными взаимодействиями (вклад которых доминирует), так и случайными полями, причем в слабом постоянном электрическом поле относительный вклад последних возрастает. Полученный результат имеет принципиальное значение, поскольку закладывает основу для понимания поведения релаксаторного сегнетоэлектрика в температурной области ниже  $T_f$  в сильном постоянном электрическом поле и причин формирования состояния фрустрированного сегнетоэлектрика (фрустрированного либо нормального) в структурно-неупорядоченной системе.

Автор выражает благодарность П. П. Сырникову за синтезирование керамики  $Cd_2Nb_2O_7$  и А. О. Лебедеву за рентгеноструктурный анализ образцов. Работа выполнена при финансовой поддержке РФФИ (грант № 00-02-16900).

#### ЛИТЕРАТУРА

1. G. A. Smolensky, J. Phys. Soc. Jap. **28**, 26 (1970).
2. B. E. Vugmeister and H. Rabitz, Phys. Rev. B **57**, 7581 (1998).
3. L. E. Cross, Ferroelectrics **76**, 241 (1987); **151**, 305 (1994).
4. Hong Gui, Binglin Gu, and Xiaowen Zhang, Phys. Rev. B **52**, 3135 (1995).
5. V. Westphal, W. Kleemann, and D. Glinchuk, Phys. Rev. Lett. **68**, 847 (1992).
6. A. K. Tagantsev and A. E. Glazounov, Phys. Rev. B **57**, 18 (1998); Appl. Phys. Lett. **74**, 1910 (1999).
7. D. Viehland, S. J. Jang, L. E. Cross, and M. Wuttig, Phys. Rev. B **46**, 8003 (1992); J. Appl. Phys. **68**, 2916 (1990).
8. E. V. Colla, E. Yu. Koroleva, N. M. Okuneva, and S. B. Vakhrushev, J. Phys.: Condens. Matter **4**, 3671 (1992); Ferroelectrics **184**, 209 (1996).
9. R. Pirc and R. Blinc, Phys. Rev. B **60**, 13470 (1999).
10. V. Bobnar, Z. Kutnjak, R. Pirc et al., Phys. Rev. Lett. **84**, 5892 (2000).
11. D. Viehland, S. J. Jang, and L. E. Cross, J. Appl. Phys. **69**, 414 (1991).
12. K. H. Fisher and J. A. Hertz, *Spin Glasses*, Cambridge University Press, Cambridge, England (1991).
13. R. Sommer, N. K. Yushin, and J. J. Van der Klink, Phys. Rev. B **48**, 13230 (1993).
14. K. Binder and A. P. Young, Rev. Mod. Phys. **58**, 801 (1986).
15. D. Viehland, J. F. Li, S. J. Jang et al., Phys. Rev. B **46**, 8013 (1992).
16. Z. Kutnjak, C. Filipic, and A. Levstik, J. Europ. Ceram. Soc. **21**, 1313 (2001).
17. A. Levstik, Z. Kutnjak, C. Filipic, and R. Pirc, Phys. Rev. B **57**, 11204 (1998).
18. D. Sherrington and S. Kirkpatrick, Phys. Rev. Lett. **35**, 1792 (1975).
19. N. N. Kolpakova, P. Czarnecki, W. Nawrocik et al., Zh. Eksp. Teor. Fiz. **94**, 395 (2002).
20. N. N. Kolpakova, P. P. Syrnikov, A. O. Lebedev et al., J. Appl. Phys. **90**, 6332 (2001).
21. Ch. Ang, L. E. Cross, R. Guo, and A. S. Bhalla, Appl. Phys. Lett. **77**, 732 (2000).
22. N. N. Kolpakova, M. Wiesner, G. Kugel, P. Bourson, Ferroelectrics **201**, 107 (1997); **190**, 179 (1997).
23. В. А. Исповедев, Г. И. Тарасова, ФТТ **25**, 1013 (1983), 1018 (1983).
24. Z. G. Ye, N. N. Kolpakova, J.-P. Rivera, and H. Schmid, Ferroelectrics **124**, 275 (1991).
25. L. S. Kamzina, F. M. Salaev, N. N. Krainik et al., Fizika Tverd. Tela **25**, 2846 (1983).
26. J. Hemberger, H. Ries, A. Loidl, and R. Böhmer, Phys. Rev. Lett. **76**, 2330 (1996).